



دانشگاه صنعتی تبریز

دانشکده مهندسی برق و رباتیک

گروه برق - قدرت

## مدل‌سازی، طراحی و تحلیل عملکرد یک ماشین

### سنکرون ابررسانا

امیر حسن نیا خیبری

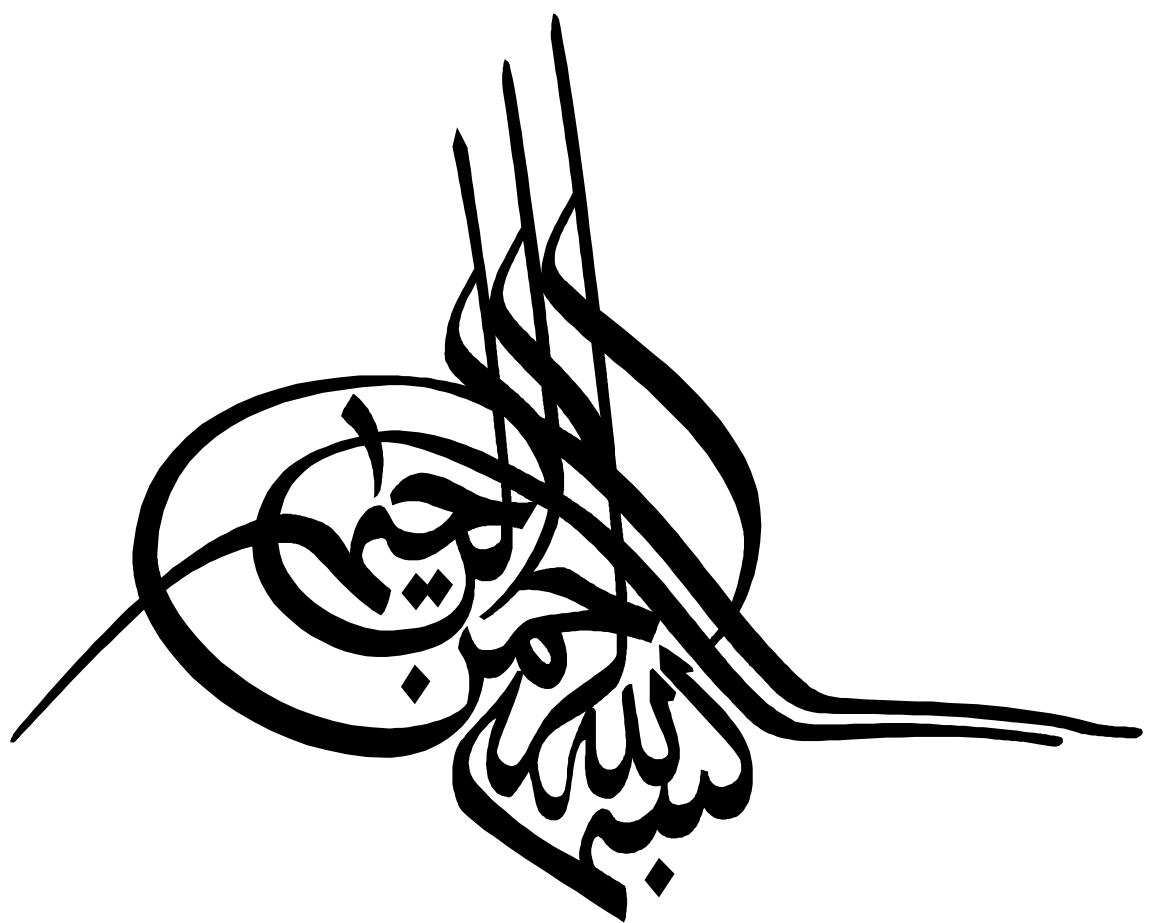
استاد راهنما:

دکتر احمد دارابی

استاد مشاور:

دکتر محمد ابراهیم قاضی

خرداد ماه ۱۳۹۳





دانشکاده صنعتی شاپرود

دانشکده مهندسی برق و رباتیک

گروه برق - قدرت

## مدل‌سازی، طراحی و تحلیل عملکرد یک ماشین

### سنکرون ابررسانا

دانشجو: امیر حسن نیا خیبری

استاد راهنما:

دکتر احمد دارابی

استاد مشاور:

دکتر محمد ابراهیم قاضی

رساله دکتری جهت اخذ درجه دکتری

خرداد ماه ۱۳۹۳



مدیریت تحصیلات تکمیلی  
فرم شماره ۱۲

شماره: ۱۷۴ رات بـ  
تاریخ: ۹۳/۰۳/۳۱  
ویرایش: —

با اسمه تعالیٰ

صورت جلسه دفاع از رساله دکتری (Ph.D)

بدینوسیله گواهی می شود آقای اخانم **امیرحسن نیا خیری** دانشجوی دکتری رشته **هندسی برق** قدرت به شماره

دانشجویی **۸۸۱۸۴۹۵** ورودی سال **۸۸** در تاریخ **۹۳/۰۳/۲۸** از رساله خود با عنوان:

مدلسازی، طراحی و تحلیل عملکرد یک ماشین سنکرون ابر رسانا

دفاع و با اخذ نمره **۱۸,۶۵** به درجه: **دکتری** نائل گردید.  
**بیان حکم**

(الف) درجه عالی: نمره ۱۹-۲۰  نمره ۱۷-۱۸

(ج) درجه خوب: نمره ۱۵-۱۶  نیاز به دفع مجدد دارد

(ه) رساله نیاز به اصلاحات دارد

ردیف	هیئت داوران	نام و نام خانوادگی*	مرتبه علمی	امضاء
دکتر احمد رازی	استاد/ استاد راهنمای	دانشیار	لکه رازی	
دکتر محمد ابراهیم حاضر	مشاور/ مشاورین	دانشیار	حاضر	
دکتر حوار فیض	استاد مدعو داخلی / خارجی	استاد	حوار فیض	
دکتر مهدی نژاد	استاد مدعو داخلی / خارجی	استادیار	مهدی نژاد	
دکتر امیر رضا همروض	استاد مدعو داخلی / خارجی	استادیار	امیر رضا همروض	
دکتر امین حاجی زاده	سرپرست (نماینده) تحصیلات تمکیلی دانشکده	استادیار	امین حاجی زاده	

مدیر محترم تحصیلات تکمیلی دانشگاه:

ضمیم تأیید مراتب فوق مقرر فرمائید اقدامات لازم بعمل آید.

دانشکده برق و ریاضی  
تاریخ و امضاء:  
دانشگاه شهروردی

دانشکده و هیأت داوران  
دانشگاه شهروردی

## تشکر و قدردانی

بر خود لازم تا از راهنمایی‌های ارزشمند و بدون وقفه استاد عزیز و گرانقدر جناب آقای دکتر دارابی که مسئولیت راهنمایی این پایان‌نامه را متعهدانه قبول فرمودند و پیوسته از حمایت‌های علمی و معنوی ایشان بهره‌مند بوده‌ام، کمال تشکر و قدردانی را داشته باشم. همچنین از جناب آقای دکتر قاضی که مشاور اینجانب در طول انجام پایان‌نامه بودند، تشکر می‌نمایم. از تمامی اساتید و کارکنان دانشکده مهندسی برق و رباتیک دانشگاه صنعتی شاهروд نیز که از راهنمایی‌ها و حمایت‌های ایشان بهره‌مند بوده‌ام، تشکر می‌کنم. از پدر و مادر بزرگوارم که دلسوزانه هر چه را داشتند فدا کردند تا به هر چه دارم برسم، قدردانی می‌کنم. از همسر عزیزم نیز که همراه من در تمامی مراحل انجام پایان‌نامه بود، تشکر ویژه دارم.

## تعهد نامه

اینجانب امیر حسن نیا خیری دانشجوی دوره دکتری رشته دانشکده مهندسی برق - قدرت  
برق و رباتیک دانشگاه صنعتی شاهرود نویسنده پایان نامه مدل سازی، طراحی و تحلیل عملکرد یک ماشین سنکرون ابررسانا تحت راهنمایی دکتر احمد دارابی متعهد می شوم.

- تحقیقات در این پایان نامه توسط اینجانب انجام شده و از صحت و اصالت برخوردار است.
- در استفاده از نتایج پژوهش‌های محققان دیگر به مرجع مورد استفاده استناد شده است.
- مطلوب مندرج در پایان نامه تاکنون توسط خود یا فرد دیگری برای دریافت هیچ نوع مدرک یا امتیازی در هیچ جا ارائه نشده است.
- کلیه حقوق معنوی این اثر متعلق به دانشگاه صنعتی شاهرود می باشد و مقالات مستخرج با نام «دانشگاه صنعتی شاهرود» و یا «Shahrood University of Technology» به چاپ خواهد رسید.
- حقوق معنوی تمام افرادی که در بدست آمدن نتایج اصلی پایان نامه تأثیرگذار بوده‌اند در مقالات مستخرج از پایان نامه رعایت می گردد.
- در کلیه مراحل انجام این پایان نامه، در مواردی که از موجود زنده (یا بافته‌های آنها) استفاده شده است ضوابط و اصول اخلاقی رعایت شده است.
- در کلیه مراحل انجام این پایان نامه، در مواردی که به حوزه اطلاعات شخصی افراد دسترسی یافته یا استفاده شده است اصل رازداری، ضوابط و اصول اخلاق انسانی رعایت شده است.

تاریخ: ۱۳۹۳/۳/۱

امیر حسن نیا خیری

### مالکیت نتایج و حق نشر

- کلیه حقوق معنوی این اثر و محصولات آن (مقالات مستخرج، کتاب، برنامه‌های رایانه‌ای، نرم‌افزارها و تجهیزات ساخته شده) متعلق به دانشگاه صنعتی شاهرود می باشد. این مطلب باید به نحو مقتضی در تولیدات علمی مربوطه ذکر شود.
- استفاده از اطلاعات و نتایج موجود در پایان نامه بدون ذکر مرجع مجاز نمی باشد.

## چکیده:

ابررسانایی به معنای صفر شدن مقاومت الکتریکی و بروز رفتارهای مغناطیسی ویژه در بعضی مواد است هنگامی که دمای آنها تا کمتر از یک مقدار بحرانی، کاهش یابد. ابررساناهای می‌توانند چگالی جریان نسبتاً زیادی بدون تلفات اهمی داشته باشند. ماشین‌های الکتریکی که با استفاده از سیم‌پیچ‌های ابررسانا ساخته می‌شوند، دارای حجم و وزن کمتر و راندمان بیشتری نسبت به ماشین‌های الکتریکی معمولی هستند و از این رو برای صنایع حمل و نقل و پیشران‌های الکتریکی مناسب می‌باشند. در این رساله برای نخستین بار ساختار جدیدی از یک موتور ابررسانای سنکرون ۲/۵ برای پیشران دریایی ارائه می‌شود. با ارائه یک الگوریتم طراحی جدید، یک نمونه موتور ابررسانای مگاوات با سرعت اسمی ۲۲۰ دور بر دقیقه، با ساختار پیشنهادی، طراحی می‌شود. مشخصات عملکرد این ماشین در شرایط بی‌باری و تحت بار با استفاده از روش اجزای محدود مورد بررسی و ارزیابی قرار گرفته و دقت الگوریتم طراحی و صحت عملکرد ماشین تایید می‌شود. همچنین اصول کلی طراحی سیستم سردکننده برای عملکرد پایدار سیم‌پیچ‌های ابررسانای ماشین مذبور نیز بیان می‌شود. سپس مسائل جانبی مرتبط با طراحی ماشین‌های ابررسانا از قبیل بهینه‌سازی شکل و بهبود جریان بحرانی سیم‌پیچ‌های ابررسانا، امکان حذف هسته مغناطیسی ماشین و تعیین فرکانس بهینه طراحی، مطرح شده و برای ساختار پیشنهادی ماشین ابررسانا، مورد بحث و بررسی قرار می‌گیرد. نتایج بررسی‌های اخیر منجر به بهبود بعضی مشخصات ماشین بویژه حجم، وزن و راندمان ماشین می‌شود. ارزیابی کلی ماشین طراحی شده با ساختار پیشنهادی، نشان می‌دهد این موتور می‌تواند یکی از مناسب‌ترین انتخاب‌های ممکن برای پیشران‌های الکتریکی باشد.

**واژه‌های کلیدی:** موتور ابررسانا، موتور رانش لبه‌ای، طراحی، بهینه‌سازی.

## لیست مقالات مستخرج از پایان نامه

- [1] Amir Hassannia and Ahmad Darabi, “*Design and Performance Analysis of Superconducting Rim-Driven Synchronous Motors for Marine Propulsion*”, IEEE Transactions on Applied Superconductivity (ISSN: 1051-8223), Vol. 24, No. 1, p. 5200207, February 2014.  
[\( ISI, IF: 1.199 \)](#)
- [2] Amir Hassannia, Ahmad Darabi and Mohamad-Ebrahim Ghazi, “*Comparison of cored and rotor coreless superconducting motors for rim-driven marine propulsion*”, Accepted for publication in: Turkish Journal of Electrical Engineering & Computer Sciences (ISSN: 1300-0632).  
[\( ISI, IF: 0.568 \)](#)
- [3] Amir Hassannia, Ahmad Darabi and Mohamad-Ebrahim Ghazi, “*An Innovative Design of Field Winding of a Superconducting Rim-Driven Motor*”, the revised version is under review in: Journal of Electrical Engineering & Technology (ISSN: 1975-0102).  
[\( ISI, IF: 0.725 \)](#)
- [4] Amir Hassannia, Ahmad Darabi and Mohamad-Ebrahim Ghazi, “*Optimal Frequency Selection for Designing a Superconducting Rim-Driven Propulsion Motor*”, Accepted for publication in: Journal of Electrical Engineering (ISSN: 1582-4594).  
[\( SCOPUS, IF: 0.967 \)](#)
- [5] Amir Hassannia, Ahmad Darabi and Mohamad-Ebrahim Ghazi, “*Design and Performance Analysis of a New Hydropower Superconducting Synchronous Generator*”, Accepted for publication in: Journal of Power and Energy Engineering (ISSN: 2327-5901).

## **فهرست مطالب**

۱	- مقدمه
۷	- پدیده ابررسانایی و ماشین‌های ابررسانا
۸	. ۱. پدیده ابررسانایی در دمای زیاد
۸	. ۲. ابررساناهای نوع ۱
۹	- مقاومت AC ۱-۲-۲
۱۰	- مغناطیس‌زدایی کامل (اثر مایسner) ۲-۲-۲
۱۲	. ۳. ابررساناهای نوع ۲
۱۳	- مغناطیس‌کنندگی ۱-۳-۲
۱۵	- میدان‌های بحرانی بالا و پایین ۲-۳-۲
۱۶	- حالت نیمه‌ابررسانایی ۳-۳-۲
۱۸	- مکانیزم نفوذ شار مغناطیسی ۴-۳-۲
۲۰	- جریان بحرانی در مواد HTS ۵-۳-۲
۲۱	. ۴. مواد HTS پیشرفته ۴-۲
۲۲	- ابررساناهای BSCCO ۱-۴-۲
۲۳	- ابررساناهای YBCO ۲-۴-۲
۲۵	- ابررساناهای REBCO ۳-۴-۲

۲۹	۲-۵. کاربردهای ابرساناها در ماشین‌های الکتریکی
۳۰	۲-۵-۱- موتورهای سنکرون ۵ و ۳۶ مگاوات
۳۲	۲-۵-۲- موتور DC هم‌قطبی
۳۳	۲-۵-۳- ماشین سنکرون ابرسانای ۴۰۰ کیلووات زیمنس
۳۴	۲-۵-۴- ماشین سنکرون ابرسانای ۴ مگاوات زیمنس
۳۵	۲-۵-۵- موتور سنکرون ابرسانای شار محوری ۱۲/۵ کیلووات
۳۶	۲-۵-۶- موتور سنکرون شار شعاعی ابرسانای ۱۵ کیلووات
۳۶	۲-۵-۷- موتور القایی ابرسانا
۳۹	۳- طراحی و تحلیل عملکرد موتور ابرسانای سنکرون
۴۰	۳-۱. انتخاب ساختار موتور
۴۴	۳-۲. الگوریتم کلی طراحی
۴۵	۳-۳. مشخصات و محدودیت‌های ماشین
۴۸	۳-۴. طراحی ماشین
۴۸	۴-۳-۱- انتخاب پارامترهای اساسی ماشین
۵۰	۴-۳-۲- طراحی اجزای فاصله هوایی
۵۵	۴-۳-۳- طراحی روتور
۶۴	۴-۴-۴-۳- طراحی استاتور
۶۸	۴-۴-۵- طراحی طول محوری ماشین
۷۱	۴-۵-۵. ارزیابی مقدماتی طرح

۷۴	۳-۶. ارزیابی طرح با روش اجزای محدود
۷۶	۳-۶-۱- تحلیل عملکرد ماشین در شرایط بی‌باری
۷۹	۳-۶-۲- تحلیل عملکرد ماشین در شرایط تحت بار
۸۱	۳-۷. ملاحظات سیستم درایو
۸۴	۳-۸. مقایسه با موتور مشابه غیرابررسانا
۸۷	۴- طراحی سیستم سردکننده موتور ابررسانا
۸۸	۴-۱. متداول‌ترین سیستم‌های سردکننده ماشین‌های ابررسانا
۸۹	۴-۱-۱- سیستم دوفازی ترموسیفون
۹۱	۴-۱-۲- سیستم دوفازی تبخیری باز
۹۲	۴-۱-۳- سیستم دوفازی تبخیری لوله‌ای
۹۳	۴-۱-۴- سیستم تکفازی نیتروژن مایع
۹۴	۴-۲. طراحی سیستم سردکننده برای ماشین مورد مطالعه
۱۰۳	۴-۳. ملزمات سیستم سردکننده
۱۰۴	۴-۴. تحلیل عملکرد سیستم سردکننده
۱۰۵	۵- طراحی ماشین ابررسانای بدون هسته
۱۰۶	۵-۱. انتخاب ساختار مناسب
۱۰۷	۵-۲. طراحی ماشین بدون هسته
۱۱۰	۵-۳. تحلیل عملکرد ماشین بدون هسته
۱۱۳	۵-۴. مقایسه ماشین معمولی و ماشین بدون هسته

۶- بهینه‌سازی شکل و بهبود جریان بحرانی سیم پیچ ابررسانا.....	۱۱۵
۶-۱. بررسی روش‌های کاهش میدان عمودی.....	۱۲۱
۶-۲. ارائه روشی جدید برای کاهش میدان عمودی.....	۱۲۳
۷- انتخاب بهینه فرکانس طراحی.....	۱۲۹
۷-۱. ساختار موتور و سیستم تغذیه.....	۱۳۰
۷-۲. طراحی موتور در فرکانس‌های مختلف.....	۱۳۱
۷-۲-۱- انتخاب مناسب پارامترهای اختیاری.....	۱۳۱
۷-۲-۲- محاسبه ضریب نشت شار مغناطیسی.....	۱۳۴
۷-۳. تلفات متأثر از فرکانس در بخش‌های مختلف ماشین.....	۱۳۷
۷-۳-۱- تلفات نیروی مقاوم آب.....	۱۳۷
۷-۳-۲- تلفات هسته استاتور.....	۱۳۹
۷-۳-۳- تلفات اهمی استاتور.....	۱۴۰
۷-۳-۴- تلفات سوئیچینگ سیستم درایو.....	۱۴۱
۷-۴. طراحی موتور ابررسانای سنکرون در فرکانس بهینه.....	۱۴۲
۸- جمع‌بندی و نتیجه‌گیری.....	۱۴۵
۸-۱. پیشنهادات.....	۱۴۸
مراجع.....	۱۵۱

## فهرست جداول‌ها

جدول ۱-۲: شدت میدان بحرانی و دمای بحرانی فلزات LTS	۹
جدول ۲-۲: مشخصات چند نمونه ابررسانای نوع دوم	۱۶
جدول ۲-۳: مشخصات بعضی سیم‌های ابررسانای سوپرپاور	۲۹
جدول ۳-۱: مشخصات ماشین مورد نظر	۴۶
جدول ۳-۲: ضرایب تضعیف دامنه هارمونیک‌های میدان فاصله هوایی	۶۷
جدول ۳-۳: مقایسه موتور $2.5^{\text{MW}}$ و $220^{\text{rpm}}$ ابررسانای طراحی شده با موتور PM مشابه	۸۵
جدول ۴-۱: بار حرارتی قسمت‌های مختلف سیستم	۹۷
جدول ۵-۱: مقایسه موتور $2.5^{\text{MW}}$ و $220^{\text{rpm}}$ دارای هسته و بدون هسته	۱۱۳
جدول ۷-۱: تاثیر فرکانس بهینه بر شاخص‌های عملکرد موتور مورد مطالعه	۱۴۳

## فهرست شکل‌ها

شکل ۱-۱: تغییرات مقاومت الکتریکی هادی‌های معمولی و HTS‌ها	۲
شکل ۱-۲: سیر زمانی افزایش دمای بحرانی ابررساناها و تغییرات سیستم‌های سردکننده	۳
شکل ۱-۳: کاربرد ابررسانا بعنوان کابل‌های زیرزمینی انتقال انرژی	۳
شکل ۲-۱: گذار به فاز ابررسانایی: (الف) در یک هادی کامل، (ب) در ابررسانا	۱۱
شکل ۲-۲: تغییرات میدان مغناطیسی در اطراف ابررسانا	۱۲
شکل ۲-۳: مغناطیس‌شوندگی یک ابررسانای نوع ۲ ایده‌آل	۱۳
شکل ۲-۴: مغناطیس‌شوندگی یک ابررسانای نوع ۲ واقعی	۱۴
شکل ۲-۵: مقایسه مشخصه مغناطیسی ابررساناهاي نوع ۱ و نوع ۲	۱۶
شکل ۲-۶: حالت نیمه‌ابررسانایی	۱۷
شکل ۲-۷: اولین عکس منتشر شده از شبکه فلکسون	۱۸
شکل ۲-۸: مکانیزم ایجاد شار مغناطیسی در ابررساناهاي نوع ۲	۱۹
شکل ۲-۹: مشخصه E-I دو ماده ابررسانا	۲۱
شکل ۲-۱۰: ساختار یک سلول واحد از ابررسانای $Bi_2Sr_2Ca_2Cu_3O_x$	۲۳
شکل ۲-۱۱: ساختار یک سلول واحد از ابررسانای $YBa_2Cu_3O_x$	۲۳
شکل ۲-۱۲: ساختار کلی یک نوار ابررسانای YBCO	۲۴
شکل ۲-۱۳: نوار ابررسانای YBCO	۲۵
شکل ۲-۱۴: ساختار سیم ابررسانای SCS4050 ساخت شرکت سوپرپاور	۲۶
شکل ۲-۱۵: یک نوع سیم ابررسانا ساخت شرکت سوپرپاور	۲۶
شکل ۲-۱۶: تغییرات جریان بحرانی لایه ابررسانا بر حسب ضخامت آن	۲۷
شکل ۲-۱۷: جریان بحرانی چند نوع ابررسانای REBCO بر حسب اندازه میدان مغناطیسی	۲۸

شکل ۲-۱۸: تغییرات جریان بحرانی سیم‌ابرسانا با تغییر زاویه میدان مغناطیسی	۲۸
شکل ۲-۱۹: ساختار متداول یک موتور ابرسانای سنکرون	۳۰
شکل ۲-۲۰: نمای کلی موتور سنکرون ابرسانای ۵ مگاوات	۳۱
شکل ۲-۲۱: نمای کلی استاتور و روتور موتور سنکرون ابرسانای ۳۶/۵ مگاوات	۳۲
شکل ۲-۲۲: ساختار کلی موتور DC همقطبی	۳۳
شکل ۲-۲۳: ساختار نمونه عملی موتور DC همقطبی	۳۳
شکل ۲-۲۴: ماشین ۴۰۰ کیلووات زیمنس	۳۴
شکل ۲-۲۵: نمای کلی ژنراتور ۴ مگاوات زیمنس و سیستم سردکننده آن	۳۴
شکل ۲-۲۶: موتور ابرسانای شار محوری ۱۲/۵ کیلووات	۳۵
شکل ۲-۲۷: ساختار داخلی موتور ابرسانای شار محوری ۱۲/۵ کیلووات	۳۶
شکل ۲-۲۸: موتور ابرسانای سنکرون ۱۵ کیلووات	۳۶
شکل ۲-۲۹: ساختار روتور قفسی ابرسانا	۳۷
شکل ۲-۳۰: روتور ابرسانا و کل موتور	۳۷
شکل ۲-۳۱: مقایسه مشخصه مکانیکی موتور القایی ابرسانا و موتور معمولی	۳۸
شکل ۳-۱: سه نمونه سیستم رانش محور گرا	۴۰
شکل ۳-۲: ساختار کلی سیستم رانش مستقیم	۴۱
شکل ۳-۳: ساختار کلی سیستم رانش لبه‌ای	۴۲
شکل ۳-۴: الگوریتم کلی طراحی ماشین	۴۶
شکل ۳-۵: فرآیند تکرار طراحی برای تعیین مقدار مجاز ضریب بارگذاری الکتریکی	۵۰
شکل ۳-۶: ساختار کلی ماشین	۵۰
شکل ۳-۷: چند نمونه سیم‌های Litz	۵۳
شکل ۳-۸: ساختار کلی یک قطب ماشین	۵۵

شکل ۳-۹: فرآیند تکرار برای تعیین ارتفاع قطب و تعداد دور سیمپیچ	۵۷
شکل ۳-۱۰: توزیع شار و مدار معادل مغناطیسی در فاصله هوایی	۵۸
شکل ۳-۱۱: زاویه بین میدان مغناطیسی و راستای عمود بر سطح نوار ابررسانا	۵۹
شکل ۳-۱۲: تغییرات جریان بحرانی چند نمونه سیم REBCO نسبت به زاویه میدان مغناطیسی.	۶۰
شکل ۳-۱۳: تغییرات جریان بحرانی سیم ابررسانا با تغییر اندازه میدان مغناطیسی	۶۱
شکل ۳-۱۴: پنکیک‌های ابررسانا	۶۲
شکل ۳-۱۵: نگه‌دارنده‌های سیم‌پیچ‌های استاتور	۶۴
شکل ۳-۱۶: نقشه سیم‌پیچی استاتور	۶۷
شکل ۳-۱۷: دیاگرام برداری موتور سنکرون در حالت پسغاز	۶۹
شکل ۳-۱۸: دیاگرام برداری موتور سنکرون در ضریب قدرت واحد	۷۰
شکل ۳-۱۹: نمای کلی هسته و سیم‌پیچ ابررسانای ماشین	۷۱
شکل ۳-۲۰: مشخصه مغناطیسی هسته ماشین	۷۲
شکل ۳-۲۱: مشبندی ماشین طراحی شده توسط نرمافزار	۷۵
شکل ۳-۲۲: توزیع چگالی شار مغناطیسی ماشین در شرایط بی‌باری	۷۶
شکل ۳-۲۳: شار عبوری از یوگ روتور و استاتور	۷۷
شکل ۳-۲۴: جهت عمود بر سطح سیم‌پیچ ابررسانا در ماشین مورد مطالعه	۷۷
شکل ۳-۲۵: توزیع مولفه عمودی چگالی شار مغناطیسی روی سیم‌پیچ ابررسانا	۷۷
شکل ۳-۲۶: ولتاژ القایی در مدار آرمیچر ناشی از جریان تحریک	۷۸
شکل ۳-۲۷: جریان اعمال شده به استاتور در شرایط اسمی	۷۹
شکل ۳-۲۸: گشتاور القایی روتور در بار اسمی	۸۰
شکل ۳-۲۹: توزیع چگالی شار مغناطیسی ماشین در شرایط بار اسمی	۸۰
شکل ۳-۳۰: ساختار کلی اینورتر سه‌فاز	۸۱

.....	شکل ۳-۱: ساختار اینورتر سه‌فاز سه‌سطحی	۸۲
.....	شکل ۳-۲: محدوده عملکرد بعضی سوئیچ‌های متداول	۸۳
.....	شکل ۳-۳: سوئیچ IGBT مدل 2MBI450VN-170-50	۸۴
.....	شکل ۴-۱: ساختار کلی سیستم ترموسیفون	۸۹
.....	شکل ۴-۲: اتصال کندانسور ثابت و روتور چرخان	۹۰
.....	شکل ۴-۳: توزیع سیال در سطح داخلی تبخیرکننده	۹۰
.....	شکل ۴-۴: ساختار کلی سیستم تبخیری باز	۹۱
.....	شکل ۴-۵: ساختار کلی سیستم تبخیری لوله‌ای	۹۲
.....	شکل ۴-۶: ساختار کلی سیستم تکفازی نیتروژن مایع با سردکننده فرعی	۹۳
.....	شکل ۴-۷: قسمت‌های اصلی سیستم سردکننده نیتروژن مایع	۹۴
.....	شکل ۴-۸: الگوریتم کلی طراحی سیستم سردکننده	۹۵
.....	شکل ۴-۹: دمای طراحی شده نقاط مختلف حلقه برودتی	۹۸
.....	شکل ۴-۱۰: مشخصه عملکرد مبرد مدل AL300	۹۹
.....	شکل ۴-۱۱: رابط فایبرگلاس برای ایزولاسیون حرارتی	۱۰۳
.....	شکل ۴-۱۲: توزیع دما در سطح مقطع هسته روتور	۱۰۴
.....	شکل ۴-۱۳: توزیع دما در سطح مقطع سیم‌پیچ ابررسانا	۱۰۴
.....	شکل ۵-۱: ساختار کلی ماشین ابررسانای بدون هسته	۱۰۶
.....	شکل ۵-۲: قسمت‌های اصلی هر قطب روتور	۱۱۱
.....	شکل ۵-۳: موقعیت لوله‌های سردکننده	۱۱۱
.....	شکل ۵-۴: نمای کلی هسته استاتور و روتور ماشین ابررسانای بدون هسته	۱۱۱
.....	شکل ۵-۵: توزیع چگالی شار مغناطیسی در قسمت‌های مختلف ماشین	۱۱۲
.....	شکل ۵-۶: توزیع مولفه عمود بر سطح چگالی شار مغناطیسی در سیم‌پیچ ابررسانا	۱۱۲

شکل ۶-۱: سطح مقطع سیم پیج ابرسانای یک ژنراتور ۳ کیلووات .....	۱۱۶
شکل ۶-۲: سطح مقطع بهینه سازی شده سیم پیج ابرسانای ژنراتور ۳ کیلووات .....	۱۱۶
شکل ۶-۳: موقعیت صفحه فرومغناطیسی نسبت به سیم پیج ابرسانا .....	۱۱۷
شکل ۶-۴: خطوط شار مغناطیسی، a) بدون صفحه، b) با صفحه فرومغناطیس .....	۱۱۷
شکل ۶-۵: تعریف متغیرهای بهینه سازی (نقاط روی اضلاع سطح مقطع سیم پیج) .....	۱۱۸
شکل ۶-۶: شکل بهینه هر یک از اضلاع سطح مقطع سیم پیج ابرسانا .....	۱۱۸
شکل ۶-۷: شکل بهینه اضلاع سطح مقطع سیم پیج با قیود مختلف .....	۱۱۸
شکل ۶-۸: بهینه سازی شکل سیم پیج موتور با شکل اولیه: a) نیم دایره، b) متوازی الاضلاع .....	۱۱۹
شکل ۶-۹: بهینه سازی شکل سیم پیج موتور برای دستیابی به حداکثر شار پیوندی .....	۱۱۹
شکل ۶-۱۰: ساختار روتور و موقعیت منحرف کننده های شار در ماشین ۱۰۰ کیلووات .....	۱۲۰
شکل ۶-۱۱: توزیع مولفه عمودی چگالی شار مغناطیسی با بهینه سازی شکل .....	۱۲۱
شکل ۶-۱۲: توزیع مولفه عمودی چگالی شار مغناطیسی با استفاده از منحرف کننده شار .....	۱۲۲
شکل ۶-۱۳: توزیع مولفه عمودی شار با جابجایی بخشی از سیم پیج .....	۱۲۳
شکل ۶-۱۴: توزیع مولفه عمودی شار با جابجایی بخش هایی از سیم پیج .....	۱۲۴
شکل ۶-۱۵: کاهش میدان عمودی با استفاده از AFD .....	۱۲۵
شکل ۶-۱۶: موقعیت AFD های پیشنهادی برای ماشین مورد مطالعه .....	۱۲۶
شکل ۶-۱۷: توزیع مولفه عمودی شار با استفاده از مجموعه AFD .....	۱۲۶
شکل ۷-۱: ساختار کلی موتور و سیستم تغذیه اینورتری .....	۱۳۰
شکل ۷-۲: مقادیر حداکثر و بهینه چگالی شار فاصله هوایی در فرکانس های مختلف .....	۱۳۲
شکل ۷-۳: طول محوری و ضخامت شعاعی ماشین در فرکانس های مختلف .....	۱۳۳
شکل ۷-۴: مدار معادل مغناطیسی ماشین رانش لبه ای .....	۱۳۴
شکل ۷-۵: مقدار ضریب نشت شار با استفاده از رابطه تحلیلی $k_{leak} = 0.629$ .....	۱۳۵

- شکل ۷-۶: مقدار ضریب نشت شار با استفاده از رابطه تحلیلی  $k_{leak} = 0.566$  ۱۳۵
- شکل ۷-۷: مقدار ضریب نشت شار با استفاده از رابطه تحلیلی  $k_{leak} = 0.681$  ۱۳۶
- شکل ۷-۸: مقدار ضریب نشت شار با استفاده از رابطه تحلیلی  $k_{leak} = 0.803$  ۱۳۶
- شکل ۹-۷: رابطه ضریب نیروی مقاوم و عدد رینولدز برای دو شکل نمونه ۱۳۸
- شکل ۱۰-۷: تلفات نیروی مقاوم آب در فرکانس‌های مختلف ۱۳۹
- شکل ۱۱-۷: چگالی تلفات هسته ۶۵JN1600 بر حسب فرکانس و چگالی شار ۱۳۹
- شکل ۱۲-۷: تلفات هسته استاتور در فرکانس‌های مختلف ۱۴۰
- شکل ۱۳-۷: تلفات توان هنگام تغییر وضعیت سوئیچ ۱۴۱
- شکل ۱۴-۷: تلفات سوئیچینگ در فرکانس‌های مختلف ۱۴۲
- شکل ۱۵-۷: تغییرات تلفات بخش‌های مختلف موتور ابررسانا و سیستم تغذیه ۱۴۳

## فصل اول

### مقدمه

یکی از بزرگترین رویدادهای صنعت برق در قرن بیستم، کشف پدیده ابررسانایی است که در سال ۱۹۱۱ توسط کامرلینگ اوونز<sup>۱</sup> معرفی شد [۱]. بطور خلاصه می‌توان ابررسانایی را بصورت ناپدید شدن مقاومت الکتریکی در دماهای بسیار کم تعریف کرد. صفر شدن این مقاومت در دمای صفر مطلق، از سال‌ها قبل، یک پدیده شناخته شده بود، اما محدود شدن مقاومت الکتریکی به صفر در دماهای نزدیک به صفر مطلق، برای اولین بار در سال ۱۹۱۱ مشاهده شد. در آن زمان اوونز توانست با استفاده از هلیوم مایع به دمایی در حدود ۱ درجه کلوین برسد. او مشاهده کرد روند کاهش هموار و تدریجی مقاومت الکتریکی جیوه با کاهش دما، در یک دمای مشخص (حدود ۴ کلوین) ناگهان تغییر کرده و به صفر می‌رسد. این دما امروزه با عنوان دمای بحرانی<sup>۲</sup> ( $T_c$ ) شناخته می‌شود. بسیاری از مواد در دماهای کمتر از دمای بحرانی وارد حالت جدیدی با ویژگی‌های الکتریکی و مغناطیسی متفاوت می‌شوند که به آن فاز ابررسانایی<sup>۳</sup> گفته می‌شود.

---

<sup>۱</sup> Kamerlings Onnes

<sup>۲</sup> Critical temperature

<sup>۳</sup> Superconducting state